



# БИООРГАНИЧЕСКАЯ ХИМИЯ

том 12 \* № 1 \* 1986

УДК 577.113.4/5

## ТИОФОСФАТНЫЕ АНАЛОГИ НУКЛЕИНОВЫХ КИСЛОТ

V\*. СИНТЕЗ 5'-ФОСФОТИОЭФИРНЫХ АНАЛОГОВ ОЛИГОДЕЗОКСИРИБОНУКЛЕОТИДОВ ПРИ ПОМОЩИ ЦВИТТЕР-ИОННЫХ МОНОМЕРОВ

Богачев В. С., Кумарев В. П., Рыбаков В. Н.

Институт цитологии и генетики Сибирского отделения  
Академии наук СССР, Новосибирск

Разработан модифицированный метод синтеза 5'-фосфотиоэфирных аналогов олигодезоксирибонуклеотидов, основанный на реакции алкилирования  $\text{Bu}_4\text{N}^+$ -солей дезоксинуклеозид-3'-O-тиофосфатов новыми цвитель-ионными мономерами — 2',5'-дизокси-5' - иоднуклеозид-3'-O-(S- $\beta$ -[N-(n-диэтилметиламино)фенил]карбамонилэтил)тиофосфатами в DMF. Показано, что применение таких мономеров и солей P<sub>s</sub>-производных приводит к увеличению скорости реакции алкилирования в среднем, в расчете на одну стадию синтеза, более чем в 100 раз по сравнению с использованным ранее методом и достижению ее независимости от длины и заряда P<sub>s</sub>-компонента. Данным методом синтезированы 5'-фосфотиоэфирные аналоги гексатимидилата и гексадекадезоксирибонуклеотида CCATCCTTCCATTTG с выходом соответственно 51,6 и 12% в расчете на исходные мономеры. Структура последнего аналога соответствует одному из фрагментов синтетического гена гормона человека ангиотензина I. Она подтверждена модифицированным методом нуклеотидных карт.

5'-Фосфотиоэфирные аналоги олигодезоксирибонуклеотидов, содержащие неприродные P-S-C(5')-межнуклеотидные связи [2—5], обладают специфическими физико-химическими и биохимическими свойствами [5]. Они являются субстратами ряда важных ферментов метаболизма ДНК, таких, как ДНК-полимераза 1 *E. coli* [6], полинуклеотидлигаза и полинуклеотидкиназа фага T4 [7], различных нуклеаз [8]. Низкие скорости соответствующих ферментативных реакций в сочетании с небольшими, но существенными различиями таких соединений от прототипов с природным типом межнуклеотидных связей делает их весьма удобными инструментами исследования перечисленных и других ферментов. Такие производные ДНК могут оказаться полезными в различных структурных исследованиях нуклеиновых кислот. Дальнейший прогресс в данной области связан с расширением исследований субстратных и физико-химических свойств рассматриваемых аналогов с целью выявления перспектив их практического применения. Одним из аспектов этой проблемы является повышение синтетической доступности таких соединений.

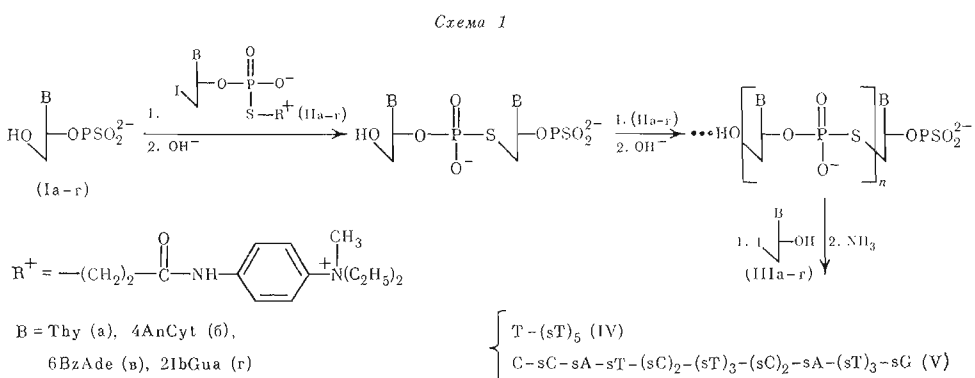
Ранее пами был разработан общий метод синтеза 5'-фосфотиоэфирных аналогов олигодезоксирибонуклеотидов, в основе которого лежит реакция алкилирования дезоксинуклеозид-3'-O-тиофосфатов особыми мономерами — 2',5'-дизокси-5'-иоднуклеозид-3'-O-(S- $\beta$ -цианэтил)тиофосфатами в DMF [5]. Но в процессе применения данного метода были выявлены недостатки, ограничивающие сферу его использования синтезом сравнительно коротких аналогов олигонуклеотидов. Так, увеличение длины P<sub>s</sub>-компоненты и величины его отрицательного заряда сопровождалось значительным уменьшением скорости его взаимодействия с анионами указанных мономеров. Например, при синтезе 5'-фосфотиоэфирного аналога ионатимидилата длительность реакции алкилирования на первой стадии составляла 1 ч, а на восьмой — 20 ч [5]. Было высказано предположение, что одной из причин этого является возрастание сил электростатического отталки-

\* Сообщение IV см. [1]. Префикс «ф» в сокращенном написании дезоксинуклеозидов для краткости всюду опущен. Использованы следующие сокращения: sN — 2',5'-дизокси-5'-меркаптонуклеозид, P<sub>s</sub> — тиофосфат, Bu — n-бутил, DMF — N,N-диметилформамид.

вания анионов реагирующих частиц по мере увеличения длины  $P_s$ -компонента [5]. Использование противокатионов небольшого размера, например катионов лития, образующих с анионами мономеров нейтральные ассоциаты [9], частично компенсирует этот эффект [5], но протекающая параллельно ассоциация катионов лития с анионами  $P_s$ -компонента значительно снижает реакционную способность последних в реакции алкилирования [9]. Недостатком  $\text{Li}^+$ -солей  $P_s$ -компонента является также плохая их растворимость в DMF, резко ухудшающаяся при увеличении его длины [5]. Такие соли выпадают в осадок, и реакцию алкилирования приходится значительную часть времени проводить в гетерофазном режиме, что также отрицательно сказывается на ее скорости. Замена  $\text{Li}^+$ -солей реагентов на их  $\text{Bu}_4\text{N}^+$ -соли или добавление воды в реакционную смесь улучшает растворимость  $P_s$ -компонента в DMF, но при этом наблюдается уменьшение скорости реакции алкилирования [5, 9].

Недавно нами был предложен способ увеличения скорости реакции алкилирования: варьирование заряда иодомономеров и типа соли  $P_s$ -компонента [4, 9], разработан метод синтеза цвиттер-ионных мономеров для синтеза 5'-фосфотиоэфирных аналогов олигодезоксинуклеотидов и изучены их реакции с производными тиофосфата в DMF [1]. Было установлено, что реакционная способность таких мономеров в реакциях алкилирования значительно выше, чем у известных отрицательно заряженных прототипов. В настоящей работе мы сообщаем о синтезе 5'-фосфотиоэфирных аналогов олигодезоксирибонуклеотидов при помощи новых цвиттер-ионных мономеров — 2',5'-дизокси-5'-иоднуклеозид-3'-O-{S -  $\beta$ -[N-(*n*-диэтилметиламин)фенил]карбамоилэтокси}тиофосфатов (Ia—g) [1].

Синтез целевых аналогов (IV) и (V) осуществляли по традиционной схеме [5], проводя ступенчатое наращивание цепи с 3'-конца мономерами (Ia—g) (схема 1):



Начальная стадия синтеза в каждом случае включала две основные операции: реакцию  $P_s$ -компонента — дезоксинуклеозид-3'-O-тиофосфатов (Ia—g) [10] с I-компонентом — мономером (IIa—g) в DMF и щелочную обработку продукта реакции для удаления защитной группировки с его 3'- $P_s$ -группы. Далее этот цикл повторялся с новым мономером (IIa—g). Для получения 5'-фосфотиоэфирных аналогов олигонуклеотидов с концевой 3'-OH-группой, что требуется для исследования их биохимических свойств, в качестве I-компонента на конечной стадии использовали 2',5'-дизокси-5'-иоднуклеозиды (IIIa—g) [10], а вместо обработки продукта реакции щелочью его деблокировали аммиаком.

Ранее нами был апробирован вариант синтеза 5'-фосфотиоэфирных аналогов олигонуклеотидов без хроматографической очистки продуктов реакции алкилирования на промежуточных стадиях [5]. Правильность структуры конечного продукта при этом гарантируется надежным удалением избыточного I-компонента, часть которого остается в растворе при осаждении продукта реакции ацетоном, а оставшееся количество после деблокирования  $P_s$ -групп в щелочи циклизуется с образованием переак-

Таблица 1

Синтез гексатиотимидилата Т-(sT)<sub>5</sub> (IV) \*

Номер стадии	Реагенты	
	P <sub>S</sub> -компонент (Bu <sub>4</sub> N <sup>+</sup> -соль) (мкмоль)	I-компонент (мкмоль)
1	Соединение (Ia) (23,4)	Мономер (IIa) (23,4)
2	Продукт стадии 1 (22,2)	» (22,2)
3	» 2 (21,1)	» (21,1)
4	» 3 (19,0)	» (19,0)
5	» 4 (16,9)	» (IIIa) (36,0)

\* Выход аналога (IV) в пересчете на исходный тиофосфат (Ia) составил 51,6 %. Объем DMF везде составлял 0,2 мл, время реакции 5 мин.

Таблица 2

Синтез гексадекатионуклеотида C-sC-sA-sT-(sC)<sub>2</sub>-(sT)<sub>3</sub>-(sC)<sub>2</sub>-sA-(sT)<sub>3</sub>-sG (V) \*

Номер стадии	Реагенты	
	P <sub>S</sub> -компонент (Bu <sub>4</sub> N <sup>+</sup> -соль) (мкмоль)	I-компонент (мкмоль)
1	Тиофосфат (Iб) (20)	Мономер (IIб) (24)
2	Продукт стадии 1	» (IIв) (28)
3	» 2	» (IIa) (24)
4	» 3	» (IIб) (25)
5	» 4	» (IIб) (24)
6	» 5	» (IIa) (24)
7	» 6	» (IIa) (26)
8	» 7	» (IIa) (26)
9	» 8	» (IIб) (26)
10	» 9	» (IIб) (26)
11	» 10	» (IIв) (30)
12	» 11	» (IIa) (26)
13	» 12	» (IIa) (27)
14	» 13	» (IIa) (28)
15	» 14	» (IIIг) (40)

\* Выход гексадекатионуклеотида (V) в пересчете на исходный тиофосфат (Iб) составил 12 %. Объем DMF везде составлял 0,6 мл, время реакции в случае мономеров (IIa—б) — 2 мин, (IIв—г) и (IIIг) — 8 мин.

ционноспособных 2',5'-дизеокси-5'-меркаптонуклеозид-3',5'-циклотиофосфатов [2, 5]. P<sub>S</sub>-компоненты вводили в реакцию алкилирования в виде Bu<sub>4</sub>N<sup>+</sup>-солей, так как такие соли обладают наивысшей реакционной способностью при взаимодействии с электронейтральными мономерами в DMF [1, 9], прекрасно растворяясь в последнем без добавок воды.

Для отработки условий синтеза мы предприняли модельный синтез 5'-фосфотиоэфирного аналога гексатимидилата (IV). Реакцию алкилирования проводили в безводном DMF, используя эквивалентные соотношения реагентов (табл. 1). Контроль за ходом реакции осуществляли методом отбора проб, определяя концентрацию P<sub>S</sub>-компонента в них иодометрическим методом [9, 10], а также при помощи микроколонической хроматографии. Ввиду очень высокой скорости реакции фиксировали только момент ее окончания. На всех стадиях синтеза аналога (IV) для этого требовалось не более 3 мин. Продукт реакции осаждали смесью ацетон — эфир, 1 : 1, так как осаждения его ацетоном, как в случае Li<sup>+</sup>-солей P<sub>S</sub>-компонентов [5], не происходило. Но и при обработке указанной смесью растворителей Bu<sub>4</sub>N<sup>+</sup>-соль продукта осаждалась в виде масла. Растворители с него декантировали, масло сушили и обрабатывали 30 мин 1 М LiOH для деблокирования P<sub>S</sub>-группы. После перевода продукта в Bu<sub>4</sub>N<sup>+</sup>-соль при помощи ионообменной хроматографии его использовали в качестве P<sub>S</sub>-компонента на следующей стадии синтеза. После проведения пяти стадий синтеза

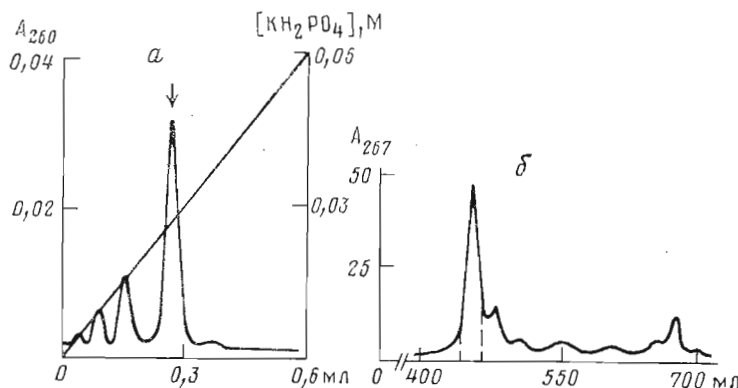


Рис. 1. Выделение и анализ аналога (IV): *а* – анализ реакционной смеси на конечной стадии синтеза методом микроколоночной хроматографии на колонке ( $0,12 \times 5$  см) с аминохромом АС-80 ( $\text{HPO}_4^{2-}$ ) в градиенте концентрации калий-фосфатного буфера (рН 7) в 9 М мочевине. Стрелкой отмечено место выхода контрольного образца  $\text{T-(sT)}_5$ ; *б* – выделение аналога (IV) гель-хроматографией на колонке ( $4,5 \times 63$  см) с сепадексом G-25 (superfine) в 0,1 М аммоний-бикарбонатном буфере (рН 7,5), скорость элюции  $40$  мл/ч,  $5^\circ\text{C}$ , выделено  $696$  ОЕ<sub>267</sub>

аналог (IV) был выделен гель-хроматографией на колонке с сепадексом G-25 (рис. 1). Его выход в расчете на исходный тиофосфат (Ia) составил 51,6%, или ~88% на стадию. По данным микроколонической хроматографии и УФ-спектроскопии, синтезированный продукт был идентичен контрольному образцу  $\text{T-(sT)}_5$ , синтезированному нами известным методом [5]. Осуществление синтеза соединения (IV) показало, что при использовании нового мономера (IIa) скорость реакции алкилирования на всех стадиях синтеза оставалась постоянной и не зависела от длины Ps-компонента.

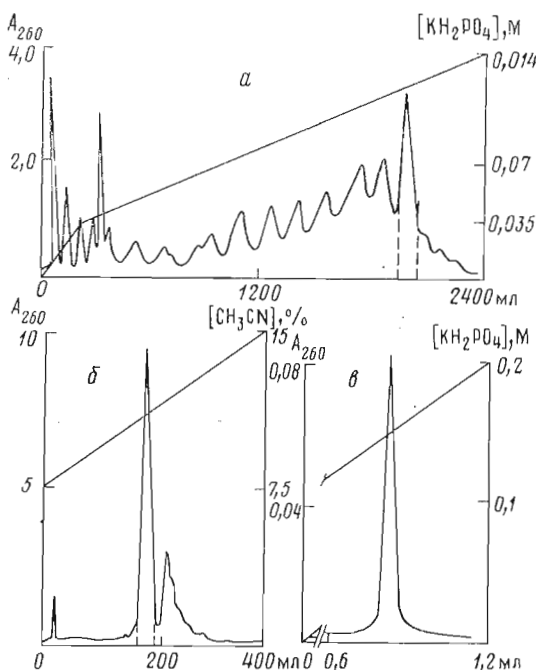


Рис. 2. Выделение аналога (V). *а* – ионообменная хроматография половины реакционной смеси на колонке ( $1,5 \times 42$  см) с аминохромом АС-80 ( $\text{HPO}_4^{2-}$ ) в градиенте концентрации калий-фосфатного буфера (рН 7) в 9 М мочевине, скорость элюции  $90$  мл/ч, выделено  $242$  ОЕ<sub>260</sub>; *б* – обращенно-фазовая хроматография на колонке ( $1,4 \times 18$  см) с  $(\text{CH}_3)_3\text{Si}$ -силикагелем в градиенте концентрации ацетонитрила в 0,05 М аммоний-acetатном буфере (рН 6), скорость элюции  $130$  мл/ч, выделено  $182$  ОЕ<sub>260</sub>; *в* – анализ аналога (V) микроколонической хроматографией в условиях, указанных на рис. 1*а*

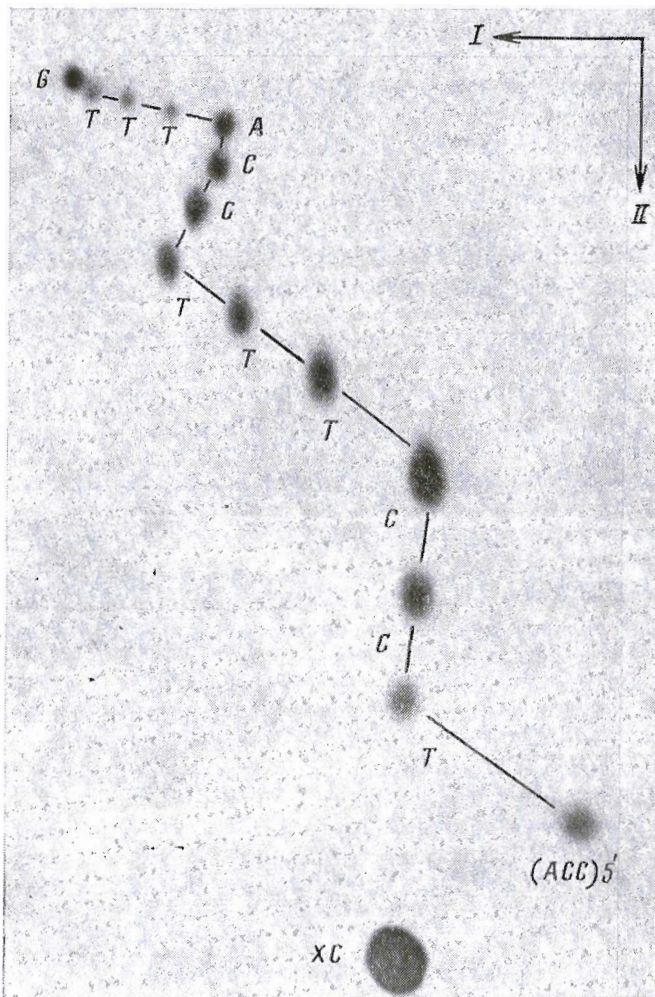


Рис. 3. Двухмерное разделение продуктов частичного гидролиза 5'- $^{32}\text{P}$ -фосфорилированного аналога (V) фосфодиэстеразой змеиного яда. Направление I — электрофорез на ацетилцеллюлозе в пиридиний-ациетатном буфере (рН 3,5) при 90 В/см, направление II — гомохроматография в гомосмеси II [12], XC — краситель ксиленцианол

Растворимость  $\text{Bu}_4\text{N}^+$ -солей  $\text{Ps}$ -компонентов в DMF также была практически постоянной и не зависела от их длины. Были выявлены и недостатки нового подхода. Так, наблюдались потери продукта при осаждении его из реакционной смеси вследствие неполной коагуляции выпадающего масла. Дополнительные эксперименты показали, что осаждение продукта лучше проводить в виде  $\text{Li}^+$ -соли, добавляя к реакционной смеси 0,05 М раствор иодистого лития в ацетоне. Образующийся при этом осадок легко отделялся фильтрованием.

Синтез 5'-фосфотиоэфирного аналога (V) проводили аналогично (табл. 2), добавляя на конечной стадии обработку реакционного продукта аммиаком для удаления защитных групп с оснований. Для более полного протекания реакции алкилирования применяли 1,2—1,5-кратный избыток I-компонента. Как и при проведении модельного синтеза аналога (IV), скорость реакции алкилирования и растворимость  $\text{Bu}_4\text{N}^+$ -солей  $\text{Ps}$ -компонента оставались постоянными на всех стадиях синтеза. Средние затраты времени на проведение одной стадии синтеза составили 1,3 ч, при этом основную их часть составляли затраты времени на деблокирование  $\text{Ps}$ -групп (0,5 ч) и высушивание  $\text{Ps}$ -компонента (0,3 ч). После проведения 15 стадий синтеза соединение (V) выделяли ионообменной хроматографи-

ей на колонке с аминохромом АС-80 с последующей очисткой при помощи обращенно-фазовой и гель-хроматографии (рис. 2). Выход аналога (V) составил 12% в пересчете на исходный тиофосфат (I<sub>b</sub>), или 85% в расчете на стадию. УФ-спектр аналога (V) характерен для пиримидиновых олигонуклеотидов ( $\lambda_{max}$  265 нм). Анализ нуклеотидной последовательности соединения (V) проводили модифицированным методом Сэнгера [11], используя измененные условия ферментативного 5'-фосфорилирования и гидролиза фосфотиодиэфирных связей, а также гомохроматографии [5]. Нуклеотидная карта аналога (V) полностью подтверждает его структуру (рис. 3). Исследование биохимических свойств синтезированного аналога (V) показало, что он проявляет матричные свойства в процессе его репарирующей репликации ДНК-полимеразой 1 *E. coli* в присутствии содержащей природные связи олигонуклеотидной затравки [6]. Ренинкация проходила правильно, но не до конца и с меньшей скоростью по сравнению с природным прототипом [6]. Получены также предварительные данные по сшивке аналога (V) на комплементарной, содержащей природные связи матрице как с модифицированными, так и с содержащими природные связи олигодезоксикулеотидами при помощи полинуклеотидлигазы фага T4. Скорость этой реакции была также ниже, чем при сшивке прототипа с природным типом межнуклеотидных связей.

Таким образом, предлагаемая модификация метода синтеза 5'-фосфотиодиэфирных аналогов олигодезоксирибонуклеотидов позволяет существенно повысить его эффективность. Так, скорость реакции алкилирования увеличена в среднем, в расчете на одну стадию, более чем в 100 раз по сравнению с наиболее эффективным известным методом [5], затраты времени на проведение одной стадии синтеза сокращены в 10 раз, достигнута независимость скорости реакции алкилирования от длины и заряда P<sub>s</sub>-компонента. Последнее обстоятельство в сочетании с хорошей и не зависящей от длины P<sub>s</sub>-компонента растворимостью его Bu<sub>4</sub>N<sup>+</sup>-соли в DMF позволяет существенно увеличить длину синтезируемого продукта, что важно для исследования биохимических свойств рассматриваемых аналогов, особенно их матричных свойств.

## Экспериментальная часть

В работе использовали дезоксикулеозиды (Merck, ФРГ), сефадекс G-25 (Pharmacia, Швеция), дауэкс 50W×2(H<sup>+</sup>) (Dow-Chemical, США), Chelex-100 (Bio-Rad, США), аминохром АС-80 (НИС НГУ) и trimетилсилированный силикагель (предоставлен В. В. Гулевичем, ИЦиГ, СО АН СССР). УФ-спектры записывали на регистрирующем спектрофотометре Specord (ГДР). Соединения (I<sub>a</sub>, б) и (III<sub>a</sub>, г) синтезировали методами, описанными в работе [5], мономеры (II<sub>a</sub>—г) — методом, приведенным в работе [1]. Растворители готовили по прописям [13]. Вещества высушивали 15 мин в вакууме над P<sub>2</sub>O<sub>5</sub> при 20° С.

*Синтез 5'-фосфотиодиэфирных аналогов олигодезоксирибонуклеотидов.* Условия межнуклеотидных реакций алкилирования для первых стадий синтеза и удаления защитных групп с P<sub>s</sub>-групп приведены ниже, а последующих представлены в табл. 1 и 2. Условия выделения аналогов (IV) и (V) приведены на рис. 1 и 2, нуклеотидная карта аналога (V) — на рис. 3.

*Межнуклеотидная реакция алкилирования при синтезе аналога (IV) (первая стадия).* К раствору P<sub>s</sub>-компонента ((Bu<sub>4</sub>N<sup>+</sup>)<sub>2</sub>-соль тиофосфата (I<sub>a</sub>), 23,4 мкмоль) в 0,2 мл DMF прибавляли I-компонент (мономер (II<sub>a</sub>), 23,4 мкмоль), перемешивали, выдерживали 3 мин, отбирая пробы объемом 1,5 мкл для подметрического определения концентрации P<sub>s</sub>-компонента [10]. К реакционной смеси добавляли смесь ацетон — эфир, 1:1 (2 мл), образовавшуюся эмульсию сильно встряхивали, охлаждали до 0° С. Растворители дейкаптировали, масло высушивали.

*Удаление защитной группы с P<sub>s</sub>-группировки при синтезе аналога (IV).* Продукт межнуклеотидной реакции алкилирования (23,4 мкмоль по исходному тиофосфату (I<sub>a</sub>)) растворяли в 1 мл 1 М LiOH, выдерживали 0,5 ч при 20° С, добавляли дауэкс 50 (H<sup>+</sup>) порциями, при перемешивании

до pH 7,5. Смолу отфильтровывали, фильтрат наносили на колонку, содержащую 1 мл дауэкса 50 ( $\text{Bu}_4\text{N}^+$ ). Продукт элюировали водой, измеряли оптическое поглощение элюата при 267 нм и упаривали досуха. Маслообразный продукт высушивали и использовали в качестве  $P_s$ -компоненты на следующей стадии.

*Межнуклеотидная реакция алкилирования при синтезе аналога (V) (первая стадия, типовая методика).* К раствору  $P_s$ -компонента (( $\text{Bu}_4\text{N}^+$ )<sub>2</sub>-соль тиофосфата (Iб), 20 мкмоль) в 0,6 мл DMF прибавляли I-компонент (мономер (IIб), 24 мкмоль), перемешивали, выдерживали 2 мин, отбирали пробу (2 мкл) для иодометрического определения концентрации  $P_s$ -компонента [9, 10]. К реакционной смеси добавляли 0,05 М раствор LiI в ацетоне (20 мл), осадок отфильтровывали, промывали ацетоном (2×5 мл) и высушивали.

*Деблокирование  $P_s$ -групп при синтезе аналога (V).* Продукт межнуклеотидной реакции алкилирования (20 мкмоль по исходному тиофосфату (Iб)) растворяли в 1 мл 1 М LiOH, выдерживали 0,5 ч и наносили на колонку, содержащую в верхней части дауэкс 50 ( $\text{Py}^+$ ) (1 мл), а в нижней — дауэкс 50 ( $\text{Bu}_4\text{N}^+$ ) (1 мл). Продукт элюировали водой, pH раствора доводили на pH-метре 0,01 М  $\text{Bu}_4\text{NOH}$  до значения 7,5, упаривали досуха, высушивали. Продукт использовали в качестве  $P_s$ -компонента на следующей стадии.

*Удаление защитных групп с оснований.* Продукт межнуклеотидной реакции алкилирования на последней, 15-й стадии осаждали 0,05 М раствором LiI в ацетоне, отфильтровывали, промывали ацетоном (2×5 мл), высушивали, растворяли в конц. растворе аммиака (марки ос. ч., 10 мл) и выдерживали 2 сут при 20° С. Раствор упаривали и использовали далее для хроматографического выделения (1/2 часть).

*Выделение аналогов (IV) и (V).* Условия выделения аналогов приведены на рис. 1 и 2. После гель-хроматографии соединения (IV) фракции, соответствующие центральной части первого пика, объединяли, измеряли оптическое поглощение при 267 нм и упаривали досуха. Для удаления бикарбоната аммония остаток растворяли в 40% водном спирте (50 мл) и снова упаривали. Эту операцию повторяли еще 3 раза, получая чистый продукт (IV). После ионообменной хроматографии аналога (V) фракции, соответствующие центральной части последнего пика, объединяли, измеряли оптическое поглощение при 260 нм и наносили на колонку для обращенно-фазовой хроматографии. Фракции, соответствующие основному пику, объединяли, упаривали до объема 1 мл и обессоливали на колонке с сефадексом G-25 (1,7×25 см), элюируя вещество водой со скоростью 25 мл/ч. Фракции пика объединяли, упаривали до объема 1 мл и пропускали через колонку с катионитом Chelex 100 ( $\text{Na}^+$ ) (2 мл). Вещество элюировали водой, измеряли его концентрацию спектрофотометрически, упаривали досуха и хранили при -20° С. Соединения (IV) и (V) были гомогенны при микроколоночной хроматографии на амилохроме AC-80 (рис. 1 и 2), их УФ-спектры в воде имеют соответственно  $\lambda_{\max}$  267 нм,  $\lambda_{\min}$  233 нм и  $\lambda_{\max}$  265 нм,  $\lambda_{\min}$  236 нм.

*Установление нуклеотидной последовательности в аналоге (V).* Первичную структуру аналога (V) анализировали по методике, приведенной в работе [5], используя модифицированный метод By [11]. Гомохроматографию проводили на пластинке размером 20×30 см, пробег маркера-красителя ксиленцианола составил 20 см. Результат анализа подтверждает структуру соединения (V).

#### ЛИТЕРАТУРА

1. Богачев В. С., Кумарев В. П. Биоорганс. химия, 1985, т. 11, № 11, с. 1547–1555.
2. Chladek S., Nagyváry J. J. Amer. Chem. Soc., 1972, v. 94, № 6, p. 2079–2085.
3. А. с. 910651 (СССР). Способ получения олигодезоксирибонуклеотидов/Кумарев В. П., Богачев В. С., Баранова Л. В., Кобзев В. Ф. Заявл. 30.09.76, № 2414492. Опубл. в Б. И., 1982, № 9.
4. А. с. 899571 (СССР). Олигодезоксирибонуклеотиды, проявляющие матричные свойства в РНК-полимеразной системе *E. coli*/Бумарев В. П., Богачев В. С., Кобзев В. Ф., Баранова Л. В., Ривкин М. И. Заявл. 13.07.79, № 2798760. Опубл. в Б. И., 1982, № 3.

5. Кумарев В. П., Богачев В. С., Кобзев В. Ф., Баранова Л. В., Ривкин М. И., Рыбаков В. Н. Биооргап. химия, 1982, т. 8, № 11, с. 1525–1534.
6. Ногапов В. А., Рыбаков В. Н., Богачев В. С., Ривкин М. И., Кумарев В. П. Биооргап. химия, 1983, т. 9, № 7, с. 954–957.
7. Рыбаков В. Н., Ривкин М. И., Богачев В. С., Кумарев В. П. Биооргап. химия, 1981, т. 7, № 9, с. 1423–1425.
8. Rybakov V. N., Rivkin M. I., Kumarev V. P. Nucl. Acids Res., 1981, v. 9, № 1, p. 189–201.
9. Богачев В. С., Кумарев В. П. Изв. Сиб. отд. АН СССР. Сер. хим. наук, 1984, № 5, вып. 2, с. 123–130.
10. Кумарев В. П., Богачев В. С., Кобзев В. Ф., Баранова Л. В. Биооргап. химия, 1982, т. 8, № 11, с. 1516–1524.
11. Ta C. P. D., Jay E., Bahl C. P., Wu R. Anal. Biochem., 1976, v. 74, № 1, p. 74–93.
12. Jay E., Bambara R., Padmanabhan R., Wu R. Nucl. Acids Res., 1974, v. 1, № 2, p. 331–353.
13. Беккер Г. и др. Органикум. М.: Мир, 1979, т. 2, с. 353.

Поступила в редакцию  
12.V.1985

PHOSPHOTHIOATE ANALOGUES OF NUCLEIC ACIDS. V. THE SYNTHESIS  
OF 5'-PHOSPHOTHIOESTER ANALOGUES OF OLIGODEOXYRIBONUCLEOTIDES  
VIA ZWITTER-ION INTERMEDIATES

BOGACHEV V. S., KUMAREV V. P., RYBAKOV V. N.

*Institute of Cytology and Genetics, Siberian Branch of the  
Academy of Sciences of the USSR, Novosibirsk*

A modified method for the synthesis of 5'-phosphothioester analogues of oligodeoxynucleotides has been developed. It is based on the alkylation reaction between  $\text{Bu}_4\text{N}^+$ -salts of deoxynucleoside 3'-phosphothioates ( $\text{NPs}$ ) and new zwitter-ion nucleotide monomers – 2',5'-dideoxy-5'-iodonucleoside-3'-O-{S- $\beta$ -[N-(*p*-diethylmethylamino)phenyl]-carbamoylethyl} phosphothioates in DMF. The use of those monomers and salts of  $\text{NPs}$  results in 100-fold increase of the alkylation rate as compared with the earlier procedure. The efficiency of the method was illustrated by the synthesis of 5'-phosphothioester analogues of hexathymidylate and hexadecadeoxynucleotide d(CCATCCTTCCATTG) with 51,6 and 42% yields, respectively. Nucleotide sequence of the latter analogue, corresponding to the synthetic angiotensin I gene, was proved by the modified fingerprinting technique.